

I-21 走行車輌による地盤振動特性

日本大学理工学部 正員 若下藤紀

§ 1 まえかき

国民の眼が公害問題に向ひている昨今、走行車輌による振動公害も一部住民の方では大きな感心事となつてきている。関係官公庁にありても、その対策にもちろんのことであるが、それ以前に走行車輌による地盤振動特性について十分把握することが必要となってきたことはいうまでもない。そこで今回ここに報告するのは、埼玉県にある川口一上尾線(通称、産業道路)の掘の内一天沼間の約800mの区间において、車輌の走行速度および道路舗装等と路盤振動との関係を、測定解析した結果を報告するものである。

§ 2 測定条件

現地測定は全項目にわたり連続24時間測定を行つた。交通量調査に関しては、走行車輌台数のみではなく走行速度の計測も実施した。振動測定に関しては、上り線、下り線に各2地点、計4地点を選定し、それぞれの測定地点に対しても、道路進行方向に直角に、

1(路肩部)、2(路肩部より7.5mの地表)、3(同15mの地表)の3ヶ所に加速度変換器取付杭を設置し、各杭頭にはX、Y、Z方向の加速度変換器を取り付け走行車輌による地盤振動を測定した。また、路床および舗装状態と振動との関係を求める目的で、同区間の道路改修工事前後にむけたて同様の測定を実施した。走行車輌による振動加速度の測定方法は、加速度変換器より地盤の振動加速度を入力し動歪測定器により加速度を測定して、データレコーダーに記録すると同時にモニター用としてラピコーダーにより出力した。更に、解析時データレコーダーによる再生はローバスフィルターを用いて高周波成分を取り除き、所要の現象のみを取り出した。

§ 3 交通量調査

調査結果は、図-1、図-2に示す通りである。ここで特に注目しなくてはならないのが、車輌走行速度と走行車輌台数との関係である。即ち、走行速度と車輌台数のグラフの交点は上下車線とも速度45km/h、台数450台/分程度であり、本線の最も利用効率のよい状況を示しているといえる。

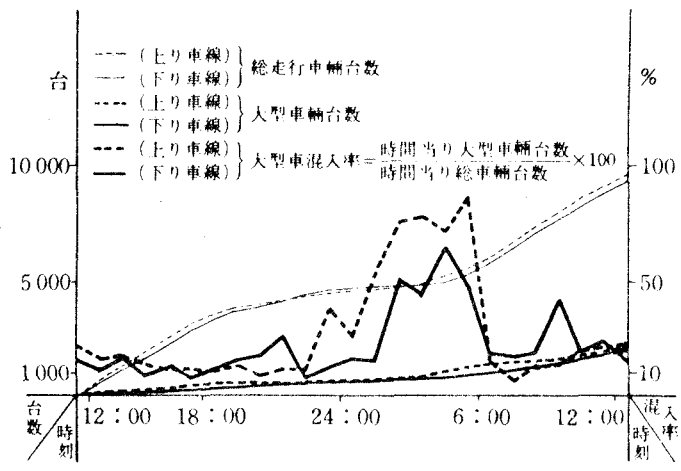
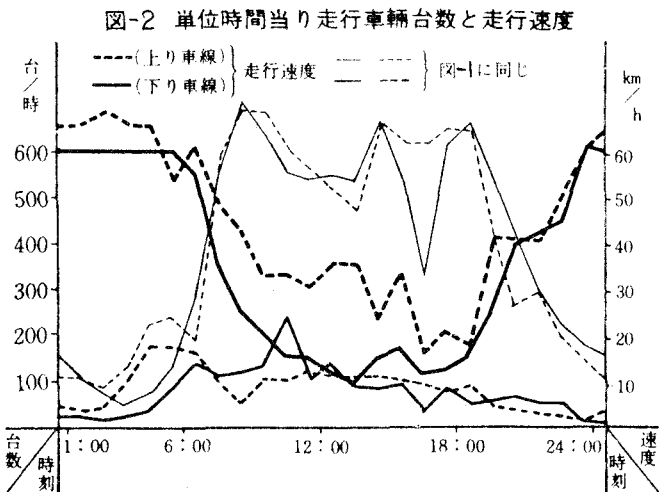


図-1 24時間走行車輌累加曲線



3.4 地盤振動特性

従来地盤の振動特性については耐震問題等に関連して、常時自然微動の測定が行なわれており、それ等資料より平均周期、卓越周期を調べてみると、0.3~0.5 sec. の周期頻度が大となり、しかも交通機関等の人工的影響が大きくはりまと0.1 sec. 付近の頻度が大となることが知られる。

今回の測定結果では、0.06 sec. 付近の周期頻度が大となり平均振動数は約16 c/s/sec. であることが得られた。これは地盤に走行車両(今回は特に大型車両走行時に着目している)のよる比較的衝撃的な外力が作用すると高頻度振動が生起し、短周期の振動が卓越するものと思われる。しかし今回の範囲では、振動源よりの距離、車両の走行速度等との関連性は見いただせなかつた。

また、伝播速度をねらめ各距離における現象から位相差を読みとり、その平均値を出してみると測定地間の差はほとんどなく、約110 m/sec. であることが判った。

加速度の成分については、一般に加速度振幅とともに、上下振動成分(Y方向)と車両走行方向に直角

な方向の水平振動成分(X方向)はほほ算しく、車両進行方向に平行な水平振動成分(Z方向)はかなり小さくなっている。

今回の測定における道路に最も近い測定点Aにおける各振動方向の加速度 $| - X | - Y | - Z$ を比較してみると走行車両による振動方向の成分は $| - X |$ および $| - Y |$ は比

図-3 測定結果

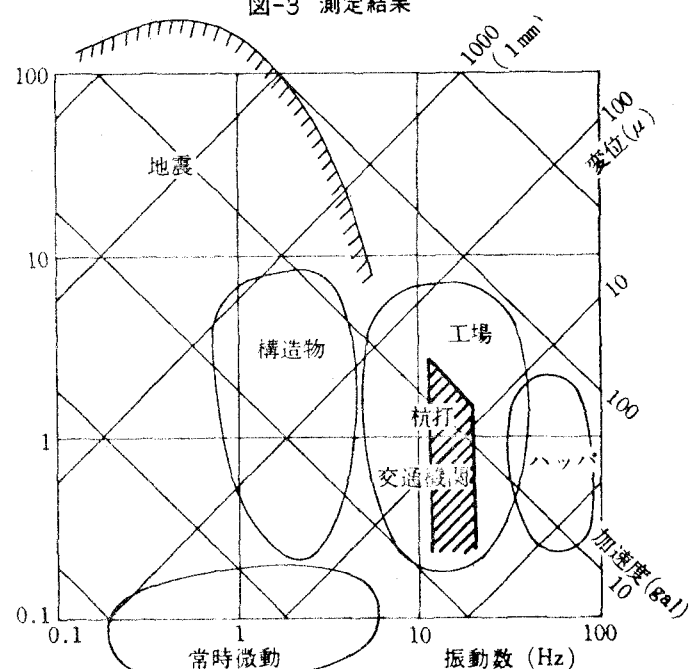


図-4 測点Aにおける距離による加速度の減衰(上下振動)

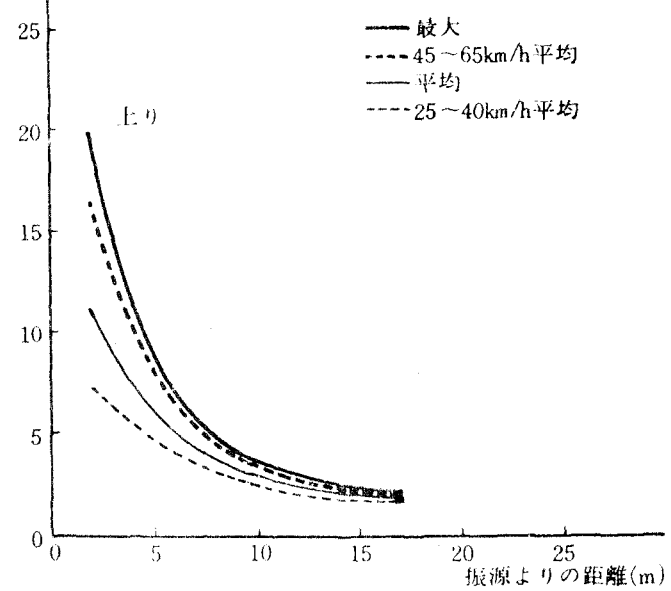
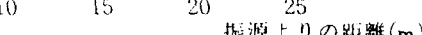


図-5 測点Aにおける距離による振幅の減衰(上下運動)



振動大きさを示しているが、 $1-Z$ 方向の振動成分は非常に小さく、特に路肩部より 7.5m にある $2-Z$ および、路肩部より 15m の位置の $3-Z$ では常に後方程度の大きさの振動しか表われなくなつた。ここで、図-3に示したのは、鳥海氏の地盤および構造物の振動範囲に今後の測定結果を斜線で入れたものである。

従来、距離による振動の減衰を表わす式としては、振動を半無限弾性体の表面を伝める Rayleigh 波と考え、振幅は距離の平方根に逆比例して指数函数的に減衰するもつとして、次式が一般に使用されている。

$$y_n = y_0 \sqrt{\frac{x_0}{x_n}} e^{-\alpha(x_n - x_0)}$$

但し、 y_0 ：振源より x_0 から距離の奥の振幅

y_n ：振源より x_n から距離の奥の振幅

α ：減衰係数

更に、距離による地盤加速度の減衰は各距離における同一車両走行時の最大加速度を用いて求めた。また、距離による地盤振幅に対する減衰は測定された量が加速度の大きさであるため、ここでは振動が正弦振動であると仮定して計算により求めた。

以上の方針により、各測定点に地盤加速度、地盤振幅、振動数等をまとめてある。図-4、図-5では、測定点における加速度及び振幅の距離による減衰を示したものである。これらの図より、走行車両（大型トラック、大型バス等）による地盤振動の距離助長減衰は、加速度、振幅とともに指数函数的に減衰し、振動源より 20m を越えるあたりではほとんど影響がなくなり常時微動とかめらなくなる。また、各測定点に見えると振動数はほぼ一定であるが、加速度および振幅にはかなりの差があり、地盤の特性にかなり大きく左右されるようである。

車両の走行速度と地盤振動の関係を、図-6に示す。この図より判るように振動加速度に対しては走行速度が 25km/h から 65km/h の範囲においては、ほぼ直線比例関係にあるともいえよう。振動振幅に対してもほぼ同様の傾向が見られた。反面、振動源より離れた測定点においては、明確な相関性は認められなかつた。

地盤振動の人体に与える影響について考へてある。振動をどのように感じるかという人体の感受性に関する研究は、かなり古くから行なわれてあり、F.L.Meister のものがよく引用されている。現在では、建築学会構造標準委員会でも、F.L.Meister の怒れ度曲線に従うことと提案している。

図-7に示したのは、今回の測定結果を、F.L.Meister の怒れ度曲線と比較したものであり、同グラフ中の A 曲線は振動の有感限度であり、C 曲線は振動をよく感じた範囲の下限であり、B 曲線は A、C 曲線を緩和したものであり F.L.Meister

図-6 測点Aにおける走行速度と加速度の関係(1-Y, 上り)

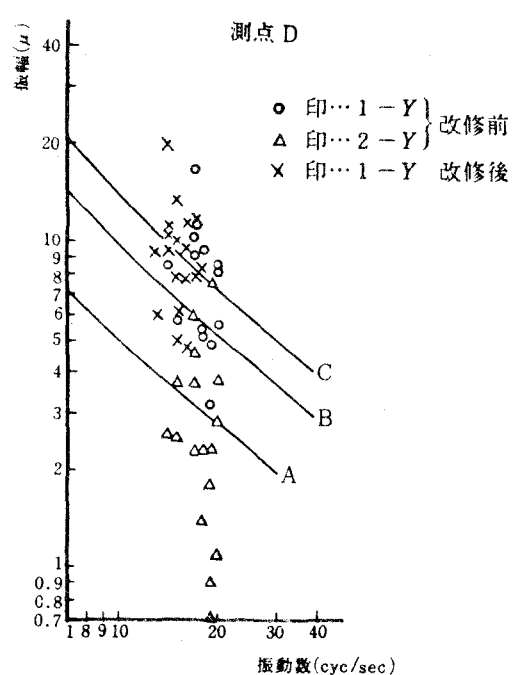
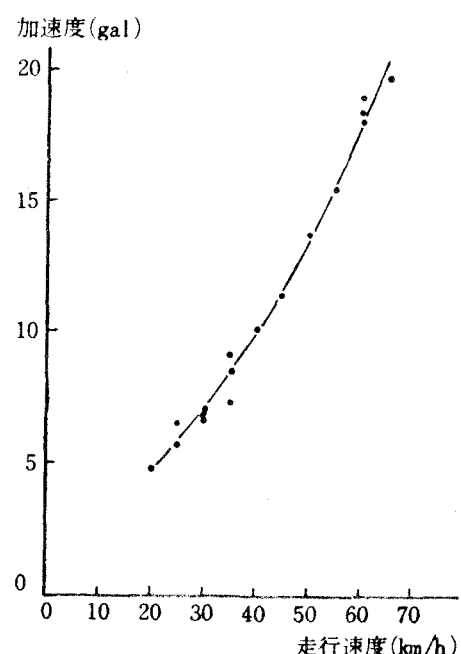


図-7 測点Dにおける有感曲線

の応答度曲線と呼ばれるものである。ここで判ることは、道路舗装改修後においても、振動数が減少しているが、その傾向は変わらないようである。

§ 5 改修後の振動

埼玉県大宮土木工事事務所の手で路床改良を含む舗装改修工事が成されたので、前述同様の方法で走行車両による地盤振動特性を求める舗装改修前後について比較検討してみたのが、図-8、図-9である。ここで判る上に、距離による振動の減衰は改修後の方がはるかに良好性を示している。また、振動周期について比較してみると、改修後は20%程度周期が長くなっている。これは表面部の凸凹が小さくなつたために前述した衝撃的外力が多少とも緩和されたものと思われる。反面、最大加速度は改修後小さくなつてゐるが、振動によると全振幅は増大しており、加速度波形がパターンが滑らかになつたことを示しているといえよう。

§ 6 考察と文献

1. 当地の地盤振動は、周期0.06sec.の伝播速度110m/sec.のRayleigh型表面波に近いものである。
2. 振動は指数的減衰し、振源より20mでは常時微動に近くなる。
3. 加速度は、車両の重量、走行速度により異り振動形は類似している。
4. 特に共振現象は見られなかつた。
5. 道路表面の凸凹の振動に与える影響は顕著であつた。
6. 路床の振動が周囲に伝達されやすいよう道路構造が望ましい。

図-8 測点Dにおける距離による加速度の減衰(上下振動)

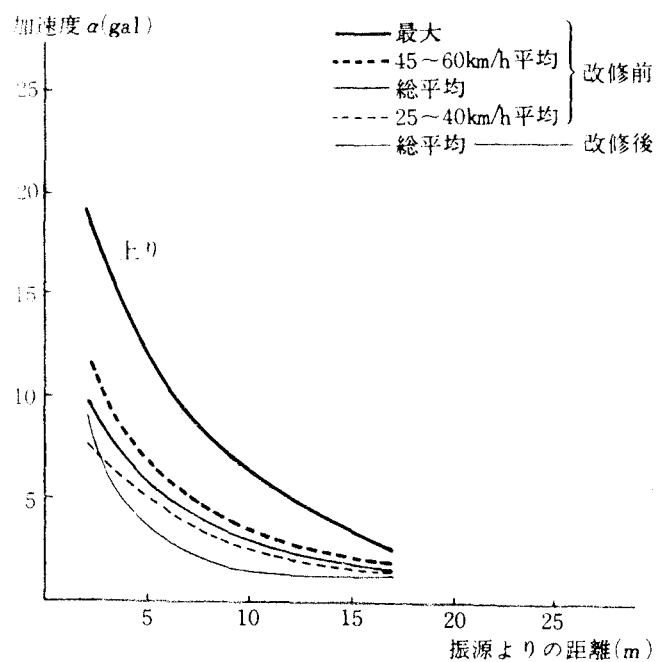
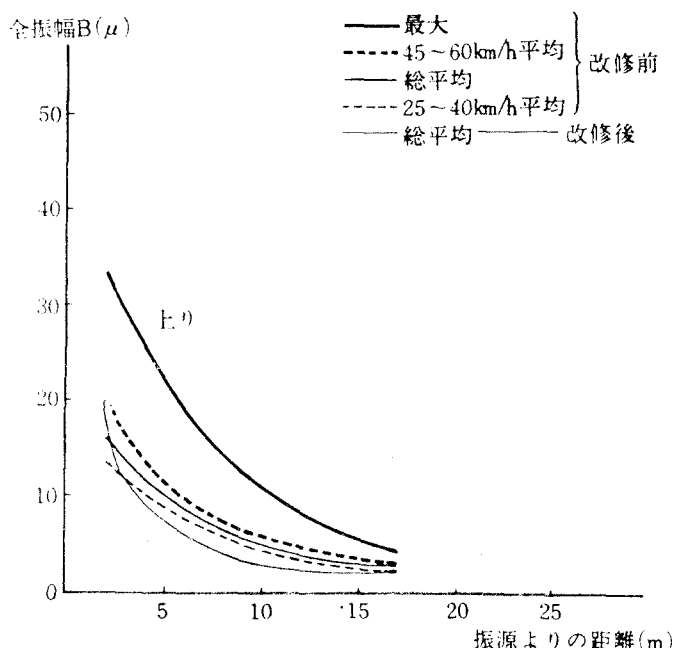


図-9 測点Dにおける距離による振幅の減衰(上下振動)



走行車両による地盤振動特性 — 振動公害対策 — 1975. 7. 環境情報科学 4巻3号. 若下藤紀.

振動障害に関する調査二例. 他 建設工学研究新報告 Vol. 1, 2. 畑中元弘 他.

「振動学」 妹尾克雄 (岩波). 「土木技術者のための振動便覧」 (土木学会) 「建築振動学」 田治見宏 (コロナ)

「The Theory of Sound」 J. W. S. Rayleigh (DOVER).